

AKTUALIZACJA DANYCH INSTALACJI PO WPROWADZENIU ZMIANY NIEISTOTNEJ**I. Wypełnia podmiot prowadzący instalację dokonujący jej zgłoszenia**

1. Nazwa i adres organu ochrony środowiska właściwego do przyjęcia zgłoszenia

Starosta Szczycieński
Wydział Rolnictwa, Leśnictwa i Ochrony Środowiska
12-100 Szczytno
Ul. Sienkiewicza 1

2. Nazwa instalacji zgodna z nazewnictwem stosowanym przez prowadzącego instalację

SCT0005_A (zgłoszenie nr 10)

3. Określenie nazw jednostek terytorialnych (gmin, powiatów i województw), na których terenie znajduje się instalacja, wraz z podaniem symboli NTS jednostek terytorialnych, na których terenie znajduje się instalacja.
woj. WARMIŃSKO-MAZURSKIE 2.6.28 (TERYT: 28) (KTS: 10042800000000), pow. szczycieński 4.6.28.56.17 (TERYT: 2817) (KTS: 10042815617000), gm. Szczytno 5.6.28.56.17.01.1 (TERYT: 2817011) (KTS: 10042815617011)

4. Oznaczenie prowadzącego instalację, jego adres zamieszkania lub siedziby

P4 Sp. z o.o., ul Wynałazek 1, 02-677 Warszawa

5. Adres zakładu, na którego terenie prowadzona jest eksploatacja instalacji

12-100 Szczytno, Solidarności 17, dz. nr 27, gm. Szczytno, pow. szczycieński

6. Rodzaj instalacji zgodnie z załącznikiem nr 2 rozporządzenia Ministra Środowiska z dnia 2 lipca 2010r. w sprawie zgłoszenia instalacji wytwarzających pola elektromagnetyczne (Dz. U. nr 130, poz. 879).

Instalacja radiokomunikacyjna, której moc promieniowana izotropowo wynosi nie mniej niż 15W, emitująca pola elektromagnetyczne o częstotliwościach od 30 kHz do 300 GHz.

7. Rodzaj i zakres prowadzonej działalności, w tym wielkość produkcji lub wielkość świadczonych usług.

Usługi telekomunikacyjne bez prowadzenia produkcji. Wielkość świadczonych usług: usługi telekomunikacyjne dla ilości do 2000 użytkowników jednocześnie.

8. Czas funkcjonowania instalacji (dni tygodnia i godziny)

Wszystkie dni tygodnia, 24 godziny na dobę.

9. Emisja pola elektromagnetycznego o równoważnych mocach promieniowanych izotropowo (EIRP) poszczególnych anten:

Antena Sektorowa 11_N: 13868W
Antena Sektorowa 12_GLT: 10180W
Antena Sektorowa 13_V: 2735W
Antena Sektorowa 14_V: 2735W
Antena Sektorowa 15_H: 19954W
Antena Sektorowa 21_GTV: 6873W
Antena Sektorowa 21_GTV: 8002W
Antena Sektorowa 31_HLN: 19840W
Antena Sektorowa 32_H: 19954W
Antena Sektorowa 41_GTV: 8178W
Antena Sektorowa 41_GTV: 6910W
Antena Sektorowa 42_HLN: 19924W
Antena Sektorowa 42_HLN: 19924W
Antena Sektorowa 43_H: 13808W
Antena Sektorowa 43_H: 13808W
Radiolinia RL1: 5248W
Radiolinia RL2: 1380W
Radiolinia RL3: 1413W
Radiolinia RL4: 1230W
Radiolinia RL5: 1413W
Radiolinia RL6: 1514W
Radiolinia RL7: 7079W
Radiolinia RL8: 1380W
Radiolinia RL9: 1514W

10. Opis stosowanych metod ograniczenia emisji

Instalacja ogranicza wielkość emisji w sposób automatyczny do wartości nie większych niż niezbędne do zapewnienia obsługi użytkowników sieci. Metoda zgodna z zasadą działania systemu telefonii komórkowej określona odpowiednimi normami.

11. Informacja czy stopień ograniczenia wielkości emisji jest zgodny z obowiązującymi przepisami

Konstrukcja stacji ogranicza wielkość emisji, tak że obowiązujące przepisy i normy dotyczące pól elektromagnetycznych są zachowane.

12. Szczegółowe dane odpowiednio do rodzaju instalacji zgodnie z wymaganiami określonymi w załączniku 2 do rozporządzenia, które utraciło moc dnia 1 stycznia 2021 roku.

| | |
|-------|--|
| LP 1. | <p>Współrzędne geograficzne anten instalacji:</p> <p>Antena Sektorowa 11_N: (21°00'41.9"E, 53°33'58.6"N) Antena Sektorowa 12_GLT: (21°00'41.9"E, 53°33'58.6"N) Antena Sektorowa 13_V: (21°00'41.9"E, 53°33'58.6"N) Antena Sektorowa 14_V: (21°00'41.9"E, 53°33'58.6"N) Antena Sektorowa 15_H: (21°00'41.9"E, 53°33'58.6"N) Antena Sektorowa 21_GTV: (21°00'41.9"E, 53°33'58.6"N) Antena Sektorowa 21_GTV: (21°00'41.9"E, 53°33'58.6"N) Antena Sektorowa 31_HLN: (21°00'41.9"E, 53°33'58.6"N) Antena Sektorowa 32_H: (21°00'41.9"E, 53°33'58.6"N) Antena Sektorowa 41_GTV: (21°00'41.9"E, 53°33'58.6"N) Antena Sektorowa 41_GTV: (21°00'41.9"E, 53°33'58.6"N) Antena Sektorowa 42_HLN: (21°00'41.9"E, 53°33'58.6"N) Antena Sektorowa 42_HLN: (21°00'41.9"E, 53°33'58.6"N) Antena Sektorowa 43_H: (21°00'41.9"E, 53°33'58.6"N) Antena Sektorowa 43_H: (21°00'41.9"E, 53°33'58.6"N) Radiolinia RL1: (21°00'41.9"E, 53°33'58.6"N) Radiolinia RL2: (21°00'41.9"E, 53°33'58.6"N) Radiolinia RL3: (21°00'41.9"E, 53°33'58.6"N) Radiolinia RL4: (21°00'41.9"E, 53°33'58.6"N) Radiolinia RL5: (21°00'41.9"E, 53°33'58.6"N) Radiolinia RL6: (21°00'41.9"E, 53°33'58.6"N) Radiolinia RL7: (21°00'41.9"E, 53°33'58.6"N) Radiolinia RL8: (21°00'41.9"E, 53°33'58.6"N) Radiolinia RL9: (21°00'41.9"E, 53°33'58.6"N)</p> |
| LP 2. | <p>Częstotliwość pracy instalacji: 800MHz, 900MHz, 1800MHz, 2100MHz, 2600MHz, 18GHz, 23GHz, 80GHz</p> |
| LP 3. | <p>Wysokość środków elektrycznych anten nad poziomem terenu:</p> <p>Antena Sektorowa 11_N: 58,50m Antena Sektorowa 12_GLT: 58,50m Antena Sektorowa 13_V: 58,50m Antena Sektorowa 14_V: 58,50m Antena Sektorowa 15_H: 52,80m Antena Sektorowa 21_GTV: 58,50m Antena Sektorowa 21_GTV: 58,50m Antena Sektorowa 31_HLN: 55,70m Antena Sektorowa 32_H: 55,70m Antena Sektorowa 41_GTV: 58,50m Antena Sektorowa 41_GTV: 58,50m Antena Sektorowa 42_HLN: 55,70m Antena Sektorowa 42_HLN: 55,70m Antena Sektorowa 43_H: 55,70m Antena Sektorowa 43_H: 55,70m Radiolinia RL1: 56,60m Radiolinia RL2: 54,90m Radiolinia RL3: 53,80m Radiolinia RL4: 53,80m Radiolinia RL5: 56,60m Radiolinia RL6: 56,30m Radiolinia RL7: 56,30m Radiolinia RL8: 56,60m Radiolinia RL9: 55,50m</p> |
| LP 4. | <p>Emisja pola elektromagnetycznego o równoważnych mocach promieniowanych izotropowo (EIRP) poszczególnych anten:</p> <p>Antena Sektorowa 11_N: 13868W Antena Sektorowa 12_GLT: 10180W Antena Sektorowa 13_V: 2735W Antena Sektorowa 14_V: 2735W Antena Sektorowa 15_H: 19954W Antena Sektorowa 21_GTV: 6873W Antena Sektorowa 21_GTV: 8002W Antena Sektorowa 31_HLN: 19840W Antena Sektorowa 32_H: 19954W</p> |

| | |
|-------|--|
| | <p>Antena Sektorowa 41_GTV: 8178W Antena Sektorowa 41_GTV: 6910W Antena Sektorowa 42_HLN: 19924W Antena Sektorowa 42_HLN: 19924W Antena Sektorowa 43_H: 13808W Antena Sektorowa 43_H: 13808W Radiolinia RL1: 5248W Radiolinia RL2: 1380W Radiolinia RL3: 1413W Radiolinia RL4: 1230W Radiolinia RL5: 1413W Radiolinia RL6: 1514W Radiolinia RL7: 7079W Radiolinia RL8: 1380W Radiolinia RL9: 1514W</p> |
| LP 5. | <p>Zakresy azymutów i kątów pochylenia osi głównych wiązek promieniowania poszczególnych anten Instalacji:</p> <p>Antena Sektorowa 11_N: azymut 20°, pochylenie 0-6° (2100MHz) Antena Sektorowa 12_GLT: azymut 20°, pochylenie 0-8° (900MHz), pochylenie 0-6° (1800MHz) Antena Sektorowa 13_V: azymut 20°, pochylenie 0-10° (800MHz) Antena Sektorowa 14_V: azymut 20°, pochylenie 0-10° (800MHz) Antena Sektorowa 15_H: azymut 20°, pochylenie 0-6° (2600MHz) Antena Sektorowa 21_GTV: azymut 110°, pochylenie 0-10° (800MHz), pochylenie 0-10° (900MHz) Antena Sektorowa 21_GTV: azymut 170°, pochylenie 0-10° (800MHz), pochylenie 0-10° (900MHz) Antena Sektorowa 31_HLN: azymut 160°, pochylenie 0-6° (1800MHz), pochylenie 0-6° (2100MHz) Antena Sektorowa 32_H: azymut 160°, pochylenie 0-6° (2600MHz) Antena Sektorowa 41_GTV: azymut 250°, pochylenie 0-6° (800MHz), pochylenie 0-6° (900MHz) Antena Sektorowa 41_GTV: azymut 310°, pochylenie 0-8° (800MHz), pochylenie 0-8° (900MHz) Antena Sektorowa 42_HLN: azymut 249°, pochylenie 2-6° (1800MHz), pochylenie 2-6° (2100MHz) Antena Sektorowa 42_HLN: azymut 311°, pochylenie 2-7° (1800MHz), pochylenie 2-7° (2100MHz) Antena Sektorowa 43_H: azymut 249°, pochylenie 2-6° (2600MHz) Antena Sektorowa 43_H: azymut 311°, pochylenie 2-7° (2600MHz) Radiolinia RL1: azymut 39° +/-30°, pochylenie 0° Radiolinia RL2: azymut 106° +/-30°, pochylenie 0° Radiolinia RL3: azymut 201° +/-30°, pochylenie 0° Radiolinia RL4: azymut 206° +/-30°, pochylenie 0° Radiolinia RL5: azymut 224° +/-30°, pochylenie 0° Radiolinia RL6: azymut 251° +/-30°, pochylenie 0° Radiolinia RL7: azymut 261° +/-30°, pochylenie 0° Radiolinia RL8: azymut 298° +/-30°, pochylenie 0° Radiolinia RL9: azymut 311° +/-30°, pochylenie 0°</p> |
| LP 6. | <p>Dla anteny Antena Sektorowa 11_N miejsca dostępne dla ludności nie znajdują się w określonej we wskazanym poniżej rozporządzeniu odległości od środka elektrycznego anteny w osi jej głównej wiązki promieniowania, Dla anteny Antena Sektorowa 12_GLT miejsca dostępne dla ludności nie znajdują się w określonej we wskazanym poniżej rozporządzeniu odległości od środka elektrycznego anteny w osi jej głównej wiązki promieniowania, Dla anteny Antena Sektorowa 13_V miejsca dostępne dla ludności nie znajdują się w określonej we wskazanym poniżej rozporządzeniu odległości od środka elektrycznego anteny w osi jej głównej wiązki promieniowania, Dla anteny Antena Sektorowa 14_V miejsca dostępne dla ludności nie znajdują się w określonej we wskazanym poniżej rozporządzeniu odległości od środka elektrycznego anteny w osi jej głównej wiązki promieniowania, Dla anteny Antena Sektorowa 15_H miejsca dostępne dla ludności nie znajdują się w określonej we wskazanym poniżej rozporządzeniu odległości od środka elektrycznego anteny w osi jej głównej wiązki promieniowania, Dla anteny Antena Sektorowa 21_GTV miejsca dostępne dla ludności nie znajdują się w określonej we wskazanym poniżej rozporządzeniu odległości od środka elektrycznego anteny w osi jej głównej wiązki promieniowania, Dla anteny Antena Sektorowa 21_GTV miejsca dostępne dla ludności nie znajdują się w określonej we wskazanym poniżej rozporządzeniu odległości od środka elektrycznego anteny w osi jej głównej wiązki promieniowania, Dla anteny Antena Sektorowa 31_HLN miejsca dostępne dla ludności nie znajdują się w określonej we wskazanym poniżej rozporządzeniu odległości od środka elektrycznego anteny w osi jej głównej wiązki promieniowania, Dla anteny Antena Sektorowa 32_H miejsca dostępne dla ludności nie znajdują się w określonej we</p> |

| | |
|--|---|
| | <p>wskazanym poniżej rozporządzeniu odległości od środka elektrycznego anteny w osi jej głównej wiązki promieniowania, Dla anteny Antena Sektorowa 41_GTV miejsca dostępne dla ludności nie znajdują się w określonej we wskazanym poniżej rozporządzeniu odległości od środka elektrycznego anteny w osi jej głównej wiązki promieniowania, Dla anteny Antena Sektorowa 41_GTV miejsca dostępne dla ludności nie znajdują się w określonej we wskazanym poniżej rozporządzeniu odległości od środka elektrycznego anteny w osi jej głównej wiązki promieniowania, Dla anteny Antena Sektorowa 42_HLN miejsca dostępne dla ludności nie znajdują się w określonej we wskazanym poniżej rozporządzeniu odległości od środka elektrycznego anteny w osi jej głównej wiązki promieniowania, Dla anteny Antena Sektorowa 42_HLN miejsca dostępne dla ludności nie znajdują się w określonej we wskazanym poniżej rozporządzeniu odległości od środka elektrycznego anteny w osi jej głównej wiązki promieniowania, Dla anteny Antena Sektorowa 43_H miejsca dostępne dla ludności nie znajdują się w określonej we wskazanym poniżej rozporządzeniu odległości od środka elektrycznego anteny w osi jej głównej wiązki promieniowania, Dla anteny Antena Sektorowa 43_H miejsca dostępne dla ludności nie znajdują się w określonej we wskazanym poniżej rozporządzeniu odległości od środka elektrycznego anteny w osi jej głównej wiązki promieniowania, a zatem, zgodnie z przepisami wydanymi na podstawie art. 60 ustawy z dnia 3 października 2008r. o udostępnianiu informacji o środowisku i jego ochronie, udziale społeczeństwa w ochronie środowiska oraz o ocenach oddziaływania na środowisko, tj. Rozporządzeniem Rady Ministrów z dnia 10 września 2019 r. w sprawie przedsięwzięć mogących znacząco oddziaływać na środowisko (Dz.U. 2019 poz. 1839), przedmiotowa instalacja nie jest kwalifikowana jako przedsięwzięcie mogące zawsze bądź mogące potencjalnie znacząco oddziaływać na środowisko.</p> |
| LP 7. | Sprawozdanie z wykonanych pomiarów poziomów pól elektromagnetycznych, o których mowa w art. 122a ust. 1 pkt 1) Prawa ochrony środowiska – jako załącznik. |
| 13. Miejscowość, data: Gdańsk, 2022-02-04 | |
| Imię i nazwisko osoby reprezentującej prowadzącego instalację: Magdalena Sokół | |
| Podpis: | Podpis jest prawidłowy Dokument podpisany przez Magdalena Katarzyna Sokół ✓ Data: 2022.02.04 16:27:18 CET |
| II. Wypełnia organ ochrony środowiska przyjmujący zgłoszenie | |
| Data zarejestrowania zgłoszenia 04.02.2022r. | Numer zgłoszenia Ros. 6211.5.2022 |



Laboratorium EMVO Sp. J. Urbański, Pawelak

ul. Jasna 1
00-013 Warszawa

tel. +48 22 780 29 64

e-mail: laboratorium@emvo.pl



AB 1630

Sprawozdanie z pomiarów pól elektromagnetycznych - środowisko ogólne nr 14/01/OŚ/2022 - P4



| | | |
|--------------------------|---|---------------------------------|
| Nr i nazwa stacji | SCT0005 | |
| Adres | Szczytno, Solidarności, pow. szczytyński, woj. warmińsko-mazurskie | |
| Opracowanie | Marcin Belicki | Specjalista ds. pomiarów |
| Autoryzacja | Andrzej Urbański | Kierownik Laboratorium |
| Podpis | Signature Not Verified Dokument podpisany przez Andrzej Urbański Data: 2022.02.03 14:11:09 CET Powód: Zatwierdzam dokument | |
| Data | 2022-02-01 | |

„Bez pisemnej zgody Laboratorium niniejsze sprawozdanie nie może być powielane inaczej, jak tylko w całości. Ponadto wyniki dotyczą tylko badanych obiektów przywołanych w niniejszym sprawozdaniu z badań”

Spis treści

| | |
|---|----|
| 1. Informacje ogólne..... | 3 |
| 2. Podstawa prawna..... | 3 |
| 3. Opis pomiarów..... | 3 |
| 4. Zróżnicowanie dopuszczalne poziomy pól elektromagnetycznych..... | 5 |
| 5. Charakterystyka źródeł PEM..... | 5 |
| 6. Wyniki pomiarów..... | 7 |
| 7. Stwierdzenie zgodności..... | 10 |
| 8. Oświadczenie..... | 10 |
| 9. Spis załączników..... | 10 |

1. Informacje ogólne.

| | |
|---|--|
| Zleceniodawca | P4 sp. z o.o., ul. Wynałazek 1, 02-677 Warszawa osoba udzielająca informacji – Magdalena Sokół |
| Istotne informacje dostarczone przez klienta | komplet informacji niezbędnych do wykonania pomiarów i opracowania sprawozdania |
| Dane otrzymane od klienta mogące mieć wpływ na ważność wyników | Dane anten sektorowych, dane anten radioliniowych, parametry pracy instalacji, poprawka pomiarowa, ustawienie pochylenia anten |
| Prowadzący instalację | P4 sp. z o.o., ul. Wynałazek 1, 02-677 Warszawa |
| Lokalizacja obiektu | Szczytno, Solidarności, pow. szczycieński, woj. warmińsko-mazurskie |
| Miejsce instalacji anten | stalowa wieża kratowa |
| Miejsce instalacji urządzeń | outdoor |
| Osoby wykonujące pomiar | Roman Murawski |
| Data wykonania pomiaru | 2022-02-01 |
| Czas rozpoczęcia pomiaru | 08:23 |
| Czas zakończenia pomiaru | 10:59 |
| Temperatura na początku pomiaru [°C] | 0 |
| Temperatura na koniec pomiaru [°C] | 1 |
| Warunki atmosferyczne | Brak opadów. |
| Wilgotność na początku pomiaru [%] | 74 |
| Wilgotność na koniec pomiaru [%] | 74 |
| Inne źródła pól elektromagnetycznych oznaczone na załączniku graficznym | brak |
| Parametry pracy instalacji | eksploatacyjne |

2. Podstawa prawna.

2.1 Normy i rozporządzenia:

- Rozporządzeniem Ministra Klimatu z dnia 17 lutego 2020 r. w sprawie sposobów sprawdzania dotrzymania dopuszczalnych poziomów pól elektromagnetycznych w środowisku (Dz.U. 2020 poz. 258)
- Rozporządzenie Ministra Zdrowia z dnia 17 grudnia 2019 r. w sprawie dopuszczalnych poziomów pól elektromagnetycznych w środowisku (Dz.U. 2019 poz. 2448)
- Obwieszczenie Marszałka Sejmu Rzeczypospolitej Polskiej z dnia 19 lipca 2019 r. w sprawie ogłoszenia jednolitego tekstu ustawy - Prawo ochrony środowiska (Dz.U. 2019 poz. 1396).

3. Opis pomiarów.

Metodologia pomiarowa Pomiary w oparciu o Rozporządzeniem Ministra Klimatu z dnia 17 lutego 2020 r. w sprawie sposobów sprawdzania dotrzymania dopuszczalnych poziomów pól elektromagnetycznych w środowisku (Dz.U. 2020 poz. 258).

Cel badań Określenie wartości natężenia pola elektrycznego w miejscach dostępnych dla ludności.

| | |
|---|---|
| Opis zestawu pomiarowego | <p>Miernik Narda NBM 550, Sonda EF 9091, o zakresie pomiarowym 0,7 V/m - 300 V/m pracująca w paśmie 0,1 – 90 GHz, świadectwo wydane przez Laboratorium Wzorców i Metrologii Pola Elektromagnetycznego, Instytut Telekomunikacji, Teleinformatyki i Akustyki Politechniki Wrocławskiej. Świadectwo ważne do 01.06.2022r.</p> <p>Miernik Narda NBM 550, Sonda EF 9091 pracuje w zakresie temperatury -10°C - +50°C oraz wilgotności 5% - 95%</p> <p>Niepewność rozszerzona wynosi 58,8% przy poziomie ufności 95% z uwzględnieniem współczynnika rozszerzenia k=2.</p> |
| Wyposażenie pomocnicze | <p>Termohigrometr Bestone, typ: GM1362-EN-00, nr identyfikacyjny 1222436, świadectwo wzorcowania z dn. 22.12.2015 r. wydane przez Laboratorium Pomiarowe "MUTECH".</p> <p>Przymiar wstępowy STABILA, nr identyfikacyjny 5/WL/2016, świadectwo wzorcowania z dn. 06.09.2016 r. wydane przez Zespół Laboratoriów wzorcujących Okręgowego Urzędu Miar w Gdańsku.</p> <p>GPS Garmin 64s okresowo sprawdzany w punktach osnowy geodezyjnej klasy 3 na podstawie licencji punktu, zgodnie z procedurą sprawdzeń okresowych IS/PO-16-11/03.</p> |
| Pomiary zostały wykonane | <ol style="list-style-type: none"> 1. na głównych i pomocniczych kierunkach pomiarowych, na kierunkach zbliżonych do azymutów anten oraz w dodatkowych pionach pomiarowych zgodnie z wymaganiami pkt 12, 13, 14 i 19 załącznika do rozporządzenia Ministra Klimatu z dnia 17 lutego 2020 r. (Dz. U. 2020, poz. 258), 2. na obszarze pomiarowym, dla którego, na podstawie uprzednio wykonanych obliczeń uzyskanych od zleceniodawcy, stwierdzono możliwość występowania pól elektromagnetycznych o poziomach zbliżonych do poziomów dopuszczalnych zgodnie z wymaganiami pkt 5 ppkt 2 oraz pkt 13 ppkt 1 załącznika do rozporządzenia Ministra Klimatu z dnia 17 lutego 2020 r. (Dz. U. 2020, poz. 258). Wyniki obliczeń nie uwzględniały parametrów pracy instalacji innych operatorów występujących na obiekcie bądź w obszarze pomiarowym. 3. w miejscach dostępnych dla ludności. 4. miejsca niedostępne podczas wykonywania pomiarów wskazane zostały w pkt 6 (tabeli wyniki pomiarów) 5. wyniki pomiarów uzyskane zostały przy uwzględnieniu poprawek pomiarowych przekazanych przez zleceniodawcę oraz przy rzeczywistych warunkach pracy instalacji innych operatorów (w przypadku występowania). W takiej sytuacji uwzględniono jednolitą poprawkę pomiarową wynoszącą 1,70 |
| Szczególne warunki podczas wykonywania pomiarów | <p>Pomiary wykonane zostały podczas obowiązywania w kraju stanu epidemii, zgodnie z art. 122a ust. 1b Ustawy z dnia 27 kwietnia 2001 r. – Prawo ochrony środowiska (Dz. U. z 2019 r. poz. 1396, z późn. zm.9))</p> |
| Warunki pracy urządzeń nadawczych | <p>Podczas pomiarów zostały uwzględnione poprawki pomiarowe przekazane przez zleceniodawcę, umożliwiające uwzględnienie maksymalnych parametrów pracy instalacji zgodnie z pkt 7 załącznika do Rozporządzeniem Ministra Klimatu z dnia 17 lutego 2020 r. w sprawie sposobów sprawdzania dotrzymania dopuszczalnych poziomów pól elektromagnetycznych w środowisku (Dz. U. 2020, poz. 258).</p> |

4. Zróżnicowanie dopuszczalne poziomy pól elektromagnetycznych.

Zakresy znajdują się w Dzienniku Ustaw z dnia 17 grudnia 2019 r. przestawione są w tabeli nr 2 (Dz. U. z 2019r. poz. 2448).

| Parametr fizyczny | Składowa elektryczna E (V/m) | Składowa magnetyczna H (A/m) | Gęstość mocy S (W/m ²) |
|---|------------------------------|------------------------------|------------------------------------|
| Zakres Częstotliwości pola elektromagnetycznego | | | |
| od 400 MHz do 2000 MHz | $1,375 \times f^{0,5}$ | $0,0037 \times f^{0,5}$ | $f / 200$ |
| od 2 GHz do 300 GHz | 61 | 0,16 | 10 |

5. Charakterystyka źródeł PEM.

Zgodnie z informacją otrzymaną od Klienta pomiary zostały wykonane przy ustawieniach pochylenia anten zgodnych z pkt. 13, ppkt 2 załącznika do rozporządzenia Ministra Klimatu z dnia 17 lutego 2020 roku.

Anteny sektorowe - dane otrzymane od klienta

| Charakterystyka promieniowania | | kierunkowa | | | | | |
|---------------------------------|--|-------------------|-------------------|-------------------|-------------------|-------------------|-----------|
| Rzeczywisty czas pracy [h/dobę] | | 24 | | | | | |
| Rodzaj wytwarzanego pola | | stacjonarne | | | | | |
| Lp | Wyszczególnienie | sektor 1 | | | | | |
| I | Nadajnik stacji bazowej: | | | | | | |
| 1 | Typ / Producent | DBS / SRAN Huawei | | | | | |
| 2 | Częstotliwość (pasmo) MHz | 2600 | 800 | 800 | 2100 | 1800 | 900 |
| 3 | Maksymalna moc nadawana na sektor [dBm] | 52,04 | 49,03 | 49,03 | 50,79 | 50,79 | 47,78 |
| II | Obciążenie: | | | | | | |
| 1 | Typ anteny | Huawei ADU4521R0 | Kathrein 80010304 | Kathrein 80010304 | Kathrein 80010378 | Kathrein 80010772 | |
| 2 | Producent anteny | Huawei | Kathrein | Kathrein | Kathrein | Kathrein | |
| 3 | Ilość anten | 1 | 1 | 1 | 1 | 1 | |
| 4 | Azymut | 20 | | | | | |
| 5 | Zakres kątów pochylenia anten [°] | 0,00-6,00 | 0,00-10,00 | 0,00-10,00 | 0,00-6,00 | 0,00-6,00 | 0,00-8,00 |
| 6 | Średnie pochylenie anten (ustawione do pomiarów PEM) [°] | 3,00 | 3,00 | 3,00 | 3,00 | 3,00 | 3,00 |
| 7 | Wysokość zainst. n.p.t. [m] | 52,80 | 58,50 | 58,50 | 58,50 | 58,50 | |
| 8 | EIRP [W] | 19954 | 2735 | 2735 | 13868 | 10180 | |

| Charakterystyka promieniowania | | kierunkowa | |
|---------------------------------|--|-------------------|-------|
| Rzeczywisty czas pracy [h/dobę] | | 24 | |
| Rodzaj wytwarzanego pola | | stacjonarne | |
| Lp | Wyszczególnienie | sektor 2 | |
| I | Nadajnik stacji bazowej: | | |
| 1 | Typ / Producent | DBS / SRAN Huawei | |
| 2 | Częstotliwość (pasmo) MHz | 900 | 800 |
| 3 | Maksymalna moc nadawana na sektor [dBm] | 46,02 | 49,03 |
| II | Obciążenie: | | |
| 1 | Typ anteny | Huawei AMB4519R0 | |
| 2 | Producent anteny | Huawei | |
| 3 | Ilość anten | 1 | |
| 4 | Azymut | 110 | |
| 5 | Zakres kątów pochylenia anten [°] | 0,00-10,00 | |
| 6 | Średnie pochylenie anten (ustawione do pomiarów PEM) [°] | 5,00 | |
| 7 | Wysokość zainst. n.p.t. [m] | 58,50 | |
| 8 | EIRP [W] | 6873 | |

| | | | | |
|-----------------------------------|--|-------------------|-------|-------|
| Charakterystyka promieniowania | | kierunkowa | | |
| Rzeczywisty czas pracy [h/dobę] | | 24 | | |
| Rodzaj wytwarzanego pola | | stacjonarne | | |
| Lp | Wyszczególnienie | sektor 3 | | |
| I Nadajnik stacji bazowej: | | | | |
| 1 | Typ / Producent | DBS / SRAN Huawei | | |
| 2 | Częstotliwość (pasmo) MHz | 2100 | 1800 | 2600 |
| 3 | Maksymalna moc nadawana na sektor [dBm] | 49,44 | 50,00 | 52,04 |
| II Obciążenie: | | | | |
| 1 | Typ anteny | Huawei ADU4521R0 | | |
| 2 | Producent anteny | Huawei | | |
| 3 | Ilość anten | 1 | | |
| 4 | Azymut | 160 | | |
| 5 | Zakres kątów pochylecia anten [°] | 0,00-6,00 | | |
| 6 | Średnie pochylecia anten (ustawione do pomiarów PEM) [°] | 3,00 | | |
| 7 | Wysokość zainst. n.p.t. [m] | 55,70 | | |
| 8 | EIRP [W] | 19840 | | |

| | | | | |
|-----------------------------------|--|-------------------|-------|--|
| Charakterystyka promieniowania | | kierunkowa | | |
| Rzeczywisty czas pracy [h/dobę] | | 24 | | |
| Rodzaj wytwarzanego pola | | stacjonarne | | |
| Lp | Wyszczególnienie | sektor 4 | | |
| I Nadajnik stacji bazowej: | | | | |
| 1 | Typ / Producent | DBS / SRAN Huawei | | |
| 2 | Częstotliwość (pasmo) MHz | 900 | 800 | |
| 3 | Maksymalna moc nadawana na sektor [dBm] | 47,78 | 49,03 | |
| II Obciążenie: | | | | |
| 1 | Typ anteny | Huawei AMB4519R0 | | |
| 2 | Producent anteny | Huawei | | |
| 3 | Ilość anten | 1 | | |
| 4 | Azymut | 170 | | |
| 5 | Zakres kątów pochylecia anten [°] | 0,00-10,00 | | |
| 6 | Średnie pochylecia anten (ustawione do pomiarów PEM) [°] | 5,00 | | |
| 7 | Wysokość zainst. n.p.t. [m] | 58,50 | | |
| 8 | EIRP [W] | 8002 | | |

| | | | | |
|-----------------------------------|--|-------------------|-------|-------|
| Charakterystyka promieniowania | | kierunkowa | | |
| Rzeczywisty czas pracy [h/dobę] | | 24 | | |
| Rodzaj wytwarzanego pola | | stacjonarne | | |
| Lp | Wyszczególnienie | sektor 5 | | |
| I Nadajnik stacji bazowej: | | | | |
| 1 | Typ / Producent | DBS / SRAN Huawei | | |
| 2 | Częstotliwość (pasmo) MHz | 2100 | 1800 | 2600 |
| 3 | Maksymalna moc nadawana na sektor [dBm] | 51,34 | 52,45 | 52,04 |
| II Obciążenie: | | | | |
| 1 | Typ anteny | Huawei AMB4519R6 | | |
| 2 | Producent anteny | Huawei | | |
| 3 | Ilość anten | 1 | | |
| 4 | Azymut | 249 | | |
| 5 | Zakres kątów pochylecia anten [°] | 2,00-6,00 | | |
| 6 | Średnie pochylecia anten (ustawione do pomiarów PEM) [°] | 4,00 | | |
| 7 | Wysokość zainst. n.p.t. [m] | 55,70 | | |
| 8 | EIRP [W] | 19924 | | |

| | | | | |
|-----------------------------------|--|-------------------|-------|--|
| Charakterystyka promieniowania | | kierunkowa | | |
| Rzeczywisty czas pracy [h/dobę] | | 24 | | |
| Rodzaj wytwarzanego pola | | stacjonarne | | |
| Lp | Wyszczególnienie | sektor 6 | | |
| I Nadajnik stacji bazowej: | | | | |
| 1 | Typ / Producent | DBS / SRAN Huawei | | |
| 2 | Częstotliwość (pasmo) MHz | 900 | 800 | |
| 3 | Maksymalna moc nadawana na sektor [dBm] | 47,78 | 49,03 | |
| II Obciążenie: | | | | |
| 1 | Typ anteny | Huawei AMB4519R0 | | |
| 2 | Producent anteny | Huawei | | |
| 3 | Ilość anten | 1 | | |
| 4 | Azymut | 250 | | |
| 5 | Zakres kątów pochylecia anten [°] | 0,00-6,00 | | |
| 6 | Średnie pochylecia anten (ustawione do pomiarów PEM) [°] | 3,00 | | |
| 7 | Wysokość zainst. n.p.t. [m] | 58,50 | | |
| 8 | EIRP [W] | 8178 | | |

„Bez pisemnej zgody Laboratorium niniejsze sprawozdanie nie może być powielane inaczej, jak tylko w całości. Ponadto wyniki dotyczą tylko badanych obiektów przywołanych w niniejszym sprawozdaniu z badań”

| | | | |
|-----------------------------------|--|-------------------|-------|
| Charakterystyka promieniowania | | kierunkowa | |
| Rzeczywisty czas pracy [h/dobę] | | 24 | |
| Rodzaj wytwarzanego pola | | stacjonarne | |
| Lp | Wyszczególnienie | sektor 7 | |
| I Nadajnik stacji bazowej: | | | |
| 1 | Typ / Producent | DBS / SRAN Huawei | |
| 2 | Częstotliwość (pasmo) MHz | 900 | 800 |
| 3 | Maksymalna moc nadawana na sektor [dBm] | 46,02 | 49,03 |
| II Obciążenie: | | | |
| 1 | Typ anteny | Huawei AMB4519R0 | |
| 2 | Producent anteny | Huawei | |
| 3 | Ilość anten | 1 | |
| 4 | Azymut | 310 | |
| 5 | Zakres kątów pochylenia anten [°] | 0,00-8,00 | |
| 6 | Średnie pochylenie anten (ustawione do pomiarów PEM) [°] | 4,00 | |
| 7 | Wysokość zainst. n.p.t. [m] | 58,50 | |
| 8 | EIRP [W] | 6910 | |

| | | | | |
|-----------------------------------|--|-------------------|------------------|-------|
| Charakterystyka promieniowania | | kierunkowa | | |
| Rzeczywisty czas pracy [h/dobę] | | 24 | | |
| Rodzaj wytwarzanego pola | | stacjonarne | | |
| Lp | Wyszczególnienie | sektor 8 | | |
| I Nadajnik stacji bazowej: | | | | |
| 1 | Typ / Producent | DBS / SRAN Huawei | | |
| 2 | Częstotliwość (pasmo) MHz | 2100 | 1800 | 2600 |
| 3 | Maksymalna moc nadawana na sektor [dBm] | 51,34 | 52,45 | 52,04 |
| II Obciążenie: | | | | |
| 1 | Typ anteny | Huawei AMB4519R6 | Huawei AMB4519R6 | |
| 2 | Producent anteny | Huawei | Huawei | |
| 3 | Ilość anten | 1 | 1 | |
| 4 | Azymut | 311 | | |
| 5 | Zakres kątów pochylenia anten [°] | 2,00-7,00 | | |
| 6 | Średnie pochylenie anten (ustawione do pomiarów PEM) [°] | 4,50 | | |
| 7 | Wysokość zainst. n.p.t. [m] | 55,70 | | |
| 8 | EIRP [W] | 19924 | 13808 | |

Anteny radioliniowe - dane otrzymane od klienta

| | | | | | | | |
|---------------------------------|------------------|---------------------------|---------------------|------------------|---------------------|------------|------------------------|
| Charakterystyka promieniowania | | kierunkowa | | | | | |
| Rzeczywisty czas pracy [h/dobę] | | 24 | | | | | |
| Rodzaj wytwarzanego pola | | stacjonarne | | | | | |
| Lp | Linia radiowa | Antena | | | | | |
| | typ/producent | częstotliwość pracy [GHz] | moc wyjściowa [dBm] | typ/producent | średnica anteny [m] | azymut [°] | wysokość zainstal. [m] |
| 1 | OPTIX RTN/HUAWEI | 18 | 28,5 | VHLPX2-18/Andrew | 0,6 | 39 | 56,60 |
| 2 | OPTIX RTN/HUAWEI | 23 | 21 | VHLPX2-23/Andrew | 0,6 | 106 | 54,90 |
| 3 | OPTIX RTN/HUAWEI | 80 | 18 | VHLP1-80/Andrew | 0,3 | 201 | 53,80 |
| 4 | OPTIX RTN/HUAWEI | 23 | 21 | A23D06/Huawei | 0,6 | 206 | 53,80 |
| 5 | OPTIX RTN/HUAWEI | 80 | 18 | VHLP1-80/Andrew | 0,3 | 224 | 56,60 |
| 6 | OPTIX RTN/HUAWEI | 80 | 18 | A80S03/Huawei | 0,3 | 251 | 56,30 |
| 7 | OPTIX RTN/HUAWEI | 80 | 18 | VHLP2-80/Andrew | 0,6 | 261 | 56,30 |
| 8 | OPTIX RTN/HUAWEI | 23 | 21 | VHLPX2-23/Andrew | 0,6 | 298 | 56,60 |
| 9 | OPTIX RTN/HUAWEI | 80 | 18 | A80S03/Huawei | 0,3 | 311 | 55,50 |

6. Wyniki pomiarów.

Wyniki pomiarów pól elektromagnetycznych dla celów ochrony środowiska przedstawia poniższa tabela. Piony pomiarowe zostały przedstawione w zał. 2.

| Nr PP | Pole-E [V/m] | Pole-E*kE,+U [V/m] | Pole-H [A/m] | Pole-H*kE,+U [A/m] | Wys. pomiaru [m] | Opis pionu | Uwagi | WME | WMH |
|-------|--------------|--------------------|--------------|--------------------|------------------|-------------------------------------|---|-------|-------|
| 1 | 1,0 | 2,70 | 0,003 | 0,007 | 0,3 - 2,0 | N: 53° 34' 1,4" E: 21° 0' 43,3" | otoczenie stacji nadawczej - ok. 100 m od obiektu wzdłuż gł. osi promieniowania - GKP | 0,096 | 0,098 |
| 2 | 1,0 | 2,70 | 0,003 | 0,007 | 0,3 - 2,0 | N: 53° 34' 4,3" E: 21° 0' 46,2" | otoczenie stacji nadawczej - ok. 200 m od obiektu wzdłuż gł. osi promieniowania - GKP | 0,096 | 0,098 |
| 3 | 1,1 | 2,97 | 0,003 | 0,008 | 0,3 - 2,0 | N: 53° 34' 7,5" E: 21° 0' 47,2" | otoczenie stacji nadawczej - ok. 300 m od obiektu wzdłuż gł. osi promieniowania - GKP | 0,106 | 0,108 |
| 4 | 1,2 | 3,24 | 0,003 | 0,009 | 0,3 - 2,0 | N: 53° 34' 10,4" E: 21° 0' 49,4" | otoczenie stacji nadawczej - ok. 400 m od obiektu wzdłuż gł. osi promieniowania - GKP | 0,116 | 0,118 |
| 5 | 1,3 | 3,51 | 0,003 | 0,009 | 0,3 - 2,0 | N: 53° 34' 13,4" E: 21° 0' 51" | otoczenie stacji nadawczej - ok. 500 m od obiektu wzdłuż gł. osi promieniowania - GKP | 0,125 | 0,128 |
| 6 | 1,2 | 3,24 | 0,003 | 0,009 | 0,3 - 2,0 | N: 53° 34' 16,1" E: 21° 0' 53" | otoczenie stacji nadawczej - ok. 600 m od obiektu wzdłuż gł. osi promieniowania - GKP | 0,116 | 0,118 |
| 7 | 1,1 | 2,97 | 0,003 | 0,008 | 0,3 - 2,0 | N: 53° 33' 57,4" E: 21° 0' 46,1" | otoczenie stacji nadawczej - ok. 100 m od obiektu wzdłuż gł. osi promieniowania - GKP | 0,106 | 0,108 |

„Bez pisemnej zgody Laboratorium niniejsze sprawozdanie nie może być powielane inaczej, jak tylko w całości. Ponadto wyniki dotyczą tylko badanych obiektów przywołanych w niniejszym sprawozdaniu z badań”

| | | | | | | | | | |
|----|-----|------|-------|-------|-----------|-------------------------------------|---|-------|-------|
| 8 | 1,0 | 2,70 | 0,003 | 0,007 | 0,3 - 2,0 | N: 53° 33' 55,7" E: 21° 0' 51,2" | otoczenie stacji nadawczej - ok. 200 m od obiektu wzdłuż gł. osi promieniowania - GKP | 0,096 | 0,098 |
| 9 | 1,4 | 3,78 | 0,004 | 0,010 | 0,3 - 2,0 | N: 53° 33' 54,7" E: 21° 0' 56,2" | otoczenie stacji nadawczej - ok. 300 m od obiektu wzdłuż gł. osi promieniowania - GKP | 0,135 | 0,137 |
| 10 | 1,2 | 3,24 | 0,003 | 0,009 | 0,3 - 2,0 | N: 53° 33' 54" E: 21° 1' 1,5" | otoczenie stacji nadawczej - ok. 400 m od obiektu wzdłuż gł. osi promieniowania - GKP | 0,116 | 0,118 |
| 11 | 1,1 | 2,97 | 0,003 | 0,008 | 0,3 - 2,0 | N: 53° 33' 53,3" E: 21° 1' 7" | otoczenie stacji nadawczej - ok. 500 m od obiektu wzdłuż gł. osi promieniowania - GKP | 0,106 | 0,108 |
| 12 | 1,0 | 2,70 | 0,003 | 0,007 | 0,3 - 2,0 | N: 53° 33' 51,2" E: 21° 1' 10,4" | otoczenie stacji nadawczej - ok. 600 m od obiektu wzdłuż gł. osi promieniowania - GKP | 0,096 | 0,098 |
| 13 | 1,2 | 3,24 | 0,003 | 0,009 | 0,3 - 2,0 | N: 53° 33' 57,4" E: 21° 0' 35,9" | otoczenie stacji nadawczej - ok. 100 m od obiektu wzdłuż gł. osi promieniowania - GKP | 0,116 | 0,118 |
| 14 | 1,1 | 2,97 | 0,003 | 0,008 | 0,3 - 2,0 | N: 53° 33' 56" E: 21° 0' 31,2" | otoczenie stacji nadawczej - ok. 200 m od obiektu wzdłuż gł. osi promieniowania - GKP | 0,106 | 0,108 |
| 15 | 1,2 | 3,24 | 0,003 | 0,009 | 0,3 - 2,0 | N: 53° 33' 55,5" E: 21° 0' 25,8" | otoczenie stacji nadawczej - ok. 300 m od obiektu wzdłuż gł. osi promieniowania - GKP | 0,116 | 0,118 |
| 16 | 1,6 | 4,32 | 0,004 | 0,011 | 0,3 - 2,0 | N: 53° 33' 54,3" E: 21° 0' 20,5" | otoczenie stacji nadawczej - ok. 400 m od obiektu wzdłuż gł. osi promieniowania - GKP | 0,154 | 0,157 |
| 17 | 1,2 | 3,24 | 0,003 | 0,009 | 0,3 - 2,0 | N: 53° 33' 53,4" E: 21° 0' 15,3" | otoczenie stacji nadawczej - ok. 500 m od obiektu wzdłuż gł. osi promieniowania - GKP | 0,116 | 0,118 |
| 18 | 1,3 | 3,51 | 0,003 | 0,009 | 0,3 - 2,0 | N: 53° 33' 52,1" E: 21° 0' 11" | otoczenie stacji nadawczej - ok. 600 m od obiektu wzdłuż gł. osi promieniowania - GKP | 0,125 | 0,128 |
| 19 | 0,8 | 2,16 | 0,002 | 0,006 | 0,3 - 2,0 | N: 53° 34' 0,5" E: 21° 0' 37,3" | otoczenie stacji nadawczej - ok. 100 m od obiektu wzdłuż gł. osi promieniowania - GKP | 0,077 | 0,078 |
| 20 | 0,9 | 2,43 | 0,002 | 0,006 | 0,3 - 2,0 | N: 53° 34' 3" E: 21° 0' 34,4" | otoczenie stacji nadawczej - ok. 200 m od obiektu wzdłuż gł. osi promieniowania - GKP | 0,087 | 0,088 |
| 21 | 0,8 | 2,16 | 0,002 | 0,006 | 0,3 - 2,0 | N: 53° 34' 4,9" E: 21° 0' 29,2" | otoczenie stacji nadawczej - ok. 300 m od obiektu wzdłuż gł. osi promieniowania - GKP | 0,077 | 0,078 |
| 22 | 1,7 | 4,59 | 0,005 | 0,012 | 0,3 - 2,0 | N: 53° 34' 7,1" E: 21° 0' 25,1" | otoczenie stacji nadawczej - ok. 400 m od obiektu wzdłuż gł. osi promieniowania - GKP | 0,164 | 0,167 |
| 23 | 1,6 | 4,32 | 0,004 | 0,011 | 0,3 - 2,0 | N: 53° 34' 9,4" E: 21° 0' 21,1" | otoczenie stacji nadawczej - ok. 500 m od obiektu wzdłuż gł. osi promieniowania - GKP | 0,154 | 0,157 |
| 24 | 1,4 | 3,78 | 0,004 | 0,010 | 0,3 - 2,0 | N: 53° 34' 10,9" E: 21° 0' 17,7" | otoczenie stacji nadawczej - ok. 600 m od obiektu wzdłuż gł. osi promieniowania - GKP | 0,135 | 0,137 |
| 25 | 1,1 | 2,97 | 0,003 | 0,008 | 0,3 - 2,0 | N: 53° 33' 59,6" E: 21° 0' 43" | otoczenie stacji nadawczej - ok. 50 m od obiektu wzdłuż gł. osi promieniowania - GKP | 0,106 | 0,108 |
| 26 | 1,3 | 3,51 | 0,003 | 0,009 | 0,3 - 2,0 | N: 53° 34' 0,9" E: 21° 0' 44,6" | otoczenie stacji nadawczej - ok. 100 m od obiektu wzdłuż gł. osi promieniowania - GKP | 0,125 | 0,128 |
| 27 | 1,2 | 3,24 | 0,003 | 0,009 | 0,3 - 2,0 | N: 53° 34' 2,1" E: 21° 0' 46,7" | otoczenie stacji nadawczej - ok. 150 m od obiektu wzdłuż gł. osi promieniowania - GKP | 0,116 | 0,118 |
| 28 | 1,2 | 3,24 | 0,003 | 0,009 | 0,3 - 2,0 | N: 53° 33' 56,8" E: 21° 0' 40,2" | otoczenie stacji nadawczej - ok. 50 m od obiektu wzdłuż gł. osi promieniowania - GKP | 0,116 | 0,118 |
| 29 | 1,3 | 3,51 | 0,003 | 0,009 | 0,3 - 2,0 | N: 53° 33' 55,4" E: 21° 0' 38,7" | otoczenie stacji nadawczej - ok. 100 m od obiektu wzdłuż gł. osi promieniowania - GKP | 0,125 | 0,128 |
| 30 | 1,1 | 2,97 | 0,003 | 0,008 | 0,3 - 2,0 | N: 53° 33' 53,9" E: 21° 0' 37,6" | otoczenie stacji nadawczej - ok. 150 m od obiektu wzdłuż gł. osi promieniowania - GKP | 0,106 | 0,108 |
| 31 | 0,9 | 2,43 | 0,002 | 0,006 | 0,3 - 2,0 | N: 53° 33' 57,3" E: 21° 0' 39,4" | otoczenie stacji nadawczej - ok. 50 m od obiektu wzdłuż gł. osi promieniowania - GKP | 0,087 | 0,088 |
| 32 | 1,2 | 3,24 | 0,003 | 0,009 | 0,3 - 2,0 | N: 53° 33' 55,8" E: 21° 0' 36,9" | otoczenie stacji nadawczej - ok. 100 m od obiektu wzdłuż gł. osi promieniowania - GKP | 0,116 | 0,118 |
| 33 | 1,3 | 3,51 | 0,003 | 0,009 | 0,3 - 2,0 | N: 53° 33' 54,9" E: 21° 0' 35,5" | otoczenie stacji nadawczej - ok. 150 m od obiektu wzdłuż gł. osi promieniowania - GKP | 0,125 | 0,128 |
| 34 | 1,1 | 2,97 | 0,003 | 0,008 | 0,3 - 2,0 | N: 53° 33' 58,3" E: 21° 0' 38,5" | otoczenie stacji nadawczej - ok. 50 m od obiektu wzdłuż gł. osi promieniowania - GKP | 0,106 | 0,108 |
| 35 | 1,2 | 3,24 | 0,003 | 0,009 | 0,3 - 2,0 | N: 53° 33' 58" E: 21° 0' 35,8" | otoczenie stacji nadawczej - ok. 100 m od obiektu wzdłuż gł. osi promieniowania - GKP | 0,116 | 0,118 |
| 36 | 1,3 | 3,51 | 0,003 | 0,009 | 0,3 - 2,0 | N: 53° 33' 57,8" E: 21° 0' 33" | otoczenie stacji nadawczej - ok. 150 m od obiektu wzdłuż gł. osi promieniowania - GKP | 0,125 | 0,128 |
| 37 | 1,2 | 3,24 | 0,003 | 0,009 | 0,3 - 2,0 | N: 53° 33' 59,2" E: 21° 0' 38,7" | otoczenie stacji nadawczej - ok. 50 m od obiektu wzdłuż gł. osi promieniowania - GKP | 0,116 | 0,118 |
| 38 | 1,2 | 3,24 | 0,003 | 0,009 | 0,3 - 2,0 | N: 53° 34' 0,1" E: 21° 0' 36,7" | otoczenie stacji nadawczej - ok. 100 m od obiektu wzdłuż gł. osi promieniowania - GKP | 0,116 | 0,118 |
| 39 | 1,2 | 3,24 | 0,003 | 0,009 | 0,3 - 2,0 | N: 53° 34' 0,6" E: 21° 0' 34,3" | otoczenie stacji nadawczej - ok. 150 m od obiektu wzdłuż gł. osi promieniowania - GKP | 0,116 | 0,118 |
| 40 | 0,9 | 2,43 | 0,002 | 0,006 | 0,3 - 2,0 | N: 53° 33' 56" E: 21° 0' 48,1" | otoczenie stacji nadawczej - PKP | 0,087 | 0,088 |

„Bez pisemnej zgody Laboratorium niniejsze sprawozdanie nie może być powielane inaczej, jak tylko w całości. Ponadto wyniki dotyczą tylko badanych obiektów przywołanych w niniejszym sprawozdaniu z badań”

| | | | | | | | | | |
|----|------|------|-------|-------|-----------|-------------------------------------|---|-------|-------|
| 41 | 0,8 | 2,16 | 0,002 | 0,006 | 0,3 - 2,0 | N: 53° 33' 56" E: 21° 0' 44,9" | otoczenie stacji nadawczej - PKP | 0,077 | 0,078 |
| 42 | 0,9 | 2,43 | 0,002 | 0,006 | 0,3 - 2,0 | N: 53° 33' 57" E: 21° 0' 43,2" | otoczenie stacji nadawczej - PKP | 0,087 | 0,088 |
| 43 | 0,8 | 2,16 | 0,002 | 0,006 | 0,3 - 2,0 | N: 53° 33' 55,5" E: 21° 0' 43,9" | otoczenie stacji nadawczej - PKP | 0,077 | 0,078 |
| 44 | 0,9 | 2,43 | 0,002 | 0,006 | 0,3 - 2,0 | N: 53° 33' 54,9" E: 21° 0' 46,2" | otoczenie stacji nadawczej - PKP | 0,087 | 0,088 |
| 45 | 0,8 | 2,16 | 0,002 | 0,006 | 0,3 - 2,0 | N: 53° 33' 53,4" E: 21° 0' 40,4" | otoczenie stacji nadawczej - PKP | 0,077 | 0,078 |
| 46 | 0,8 | 2,16 | 0,002 | 0,006 | 0,3 - 2,0 | N: 53° 33' 55,1" E: 21° 0' 41,1" | otoczenie stacji nadawczej - PKP | 0,077 | 0,078 |
| 47 | 1,1 | 2,97 | 0,003 | 0,008 | 0,3 - 2,0 | N: 53° 33' 56,7" E: 21° 0' 36,1" | otoczenie stacji nadawczej - PKP | 0,106 | 0,108 |
| 48 | 1,3 | 3,51 | 0,003 | 0,009 | 0,3 - 2,0 | N: 53° 33' 56" E: 21° 0' 33,9" | otoczenie stacji nadawczej - PKP | 0,125 | 0,128 |
| 49 | 1,1 | 2,97 | 0,003 | 0,008 | 0,3 - 2,0 | N: 53° 34' 2,1" E: 21° 0' 36" | otoczenie stacji nadawczej - PKP | 0,106 | 0,108 |
| 50 | 0,9 | 2,43 | 0,002 | 0,006 | 0,3 - 2,0 | N: 53° 34' 1" E: 21° 0' 38,4" | otoczenie stacji nadawczej - PKP | 0,087 | 0,088 |
| 51 | 0,8 | 2,16 | 0,002 | 0,006 | 0,3 - 2,0 | N: 53° 33' 59,9" E: 21° 0' 40,8" | otoczenie stacji nadawczej - PKP | 0,077 | 0,078 |
| 52 | 0,9 | 2,43 | 0,002 | 0,006 | 0,3 - 2,0 | N: 53° 34' 1,6" E: 21° 0' 41,5" | otoczenie stacji nadawczej - PKP | 0,087 | 0,088 |
| 53 | 1,1 | 2,97 | 0,003 | 0,008 | 0,3 - 2,0 | N: 53° 34' 3,1" E: 21° 0' 42,8" | otoczenie stacji nadawczej - PKP | 0,106 | 0,108 |
| A | 1,2 | 3,24 | 0,003 | 0,009 | 0,3 - 2,0 | N: 53° 33' 57,6" E: 21° 0' 42,5" | Solidarności 16, pomiar przed budynkiem - DPP | 0,116 | 0,118 |
| B | 1,3 | 3,51 | 0,003 | 0,009 | 0,3 - 2,0 | N: 53° 33' 56,5" E: 21° 0' 42,3" | Solidarności 15, pomiar przed budynkiem - DPP | 0,125 | 0,128 |
| C | 1,2 | 3,24 | 0,003 | 0,009 | 0,3 - 2,0 | N: 53° 33' 56,7" E: 21° 0' 45,7" | budynek Szkoły Policynjnej, Piłsudskiego 7, brak możliwości wejścia, pomiar przed - DPP | 0,116 | 0,118 |
| D | 1,3 | 3,51 | 0,003 | 0,009 | 0,3 - 2,0 | N: 53° 33' 56,7" E: 21° 0' 38,1" | budynki garaży, pomiar przed budynkiem - DPP | 0,125 | 0,128 |
| E | 1,1 | 2,97 | 0,003 | 0,008 | 0,3 - 2,0 | N: 53° 33' 59" E: 21° 0' 44,1" | Solidarności 17, pomiar przed budynkiem - DPP | 0,106 | 0,108 |
| F | 1,9 | 5,13 | 0,005 | 0,014 | 0,3 - 2,0 | N: 53° 33' 54,9" E: 21° 0' 26,8" | Solidarności 8, pomiar przed budynkiem - DPP | 0,183 | 0,186 |
| G | 1,7 | 4,59 | 0,005 | 0,012 | 0,3 - 2,0 | N: 53° 33' 54,7" E: 21° 0' 22,3" | Solidarności 6, pomiar przed budynkiem - DPP | 0,164 | 0,167 |
| H | 0,7* | 2,16 | 0,002 | 0,006 | 0,3 - 2,0 | N: 53° 33' 54,2" E: 21° 0' 18,7" | Nauczycielska 18, pomiar przed budynkiem - DPP | 0,077 | 0,078 |
| I | 0,8 | 2,16 | 0,002 | 0,006 | 0,3 - 2,0 | N: 53° 33' 52,7" E: 21° 0' 16" | Leyka 25, pomiar przed budynkiem - DPP | 0,077 | 0,078 |
| J | 0,7* | 2,16 | 0,002 | 0,006 | 0,3 - 2,0 | N: 53° 33' 52,5" E: 21° 0' 12" | Leyka 23, pomiar przed budynkiem - DPP | 0,077 | 0,078 |
| K | 1,3 | 3,51 | 0,003 | 0,009 | 0,3 - 2,0 | N: 53° 34' 4,1" E: 21° 0' 31,7" | Bohaterów Września 1939 2, pomiar przed budynkiem - DPP | 0,125 | 0,128 |
| L | 1,2 | 3,24 | 0,003 | 0,009 | 0,3 - 2,0 | N: 53° 33' 51,2" E: 21° 0' 42,6" | budynek Szkoły Policynjnej, Piłsudskiego 7, brak możliwości wejścia, pomiar przed - DPP | 0,116 | 0,118 |
| M | 1,2 | 3,24 | 0,003 | 0,009 | 0,3 - 2,0 | N: 53° 33' 46,8" E: 21° 0' 43" | budynek Szkoły Policynjnej, Piłsudskiego 7, brak możliwości wejścia, pomiar przed - DPP | 0,116 | 0,118 |
| N | 1,2 | 3,24 | 0,003 | 0,009 | 0,3 - 2,0 | N: 53° 33' 41,9" E: 21° 0' 45,9" | budynek Szkoły Policynjnej, Piłsudskiego 7, brak możliwości wejścia, pomiar przed - DPP | 0,116 | 0,118 |
| O | 0,7* | 2,16 | 0,002 | 0,006 | 0,3 - 2,0 | N: 53° 33' 39,6" E: 21° 0' 45,3" | Piłsudskiego 4, pomiar przed budynkiem - DPP | 0,077 | 0,078 |
| P | 1,2 | 3,24 | 0,003 | 0,009 | 0,3 - 2,0 | N: 53° 33' 51" E: 21° 0' 45,2" | budynek Szkoły Policynjnej, Piłsudskiego 7, brak możliwości wejścia, pomiar przed - DPP | 0,116 | 0,118 |
| Q | 1,2 | 3,24 | 0,003 | 0,009 | 0,3 - 2,0 | N: 53° 33' 44,3" E: 21° 0' 49" | budynek Szkoły Policynjnej, Piłsudskiego 7, brak możliwości wejścia, pomiar przed - DPP | 0,116 | 0,118 |
| R | 0,7* | 2,16 | 0,002 | 0,006 | 0,3 - 2,0 | N: 53° 33' 41,3" E: 21° 0' 50,4" | Piłsudskiego 25, pomiar przed budynkiem - DPP | 0,077 | 0,078 |
| S | 1,4 | 3,78 | 0,004 | 0,010 | 0,3 - 2,0 | N: 53° 33' 53" E: 21° 1' 0,8" | Broniewskiego 35, pomiar przed budynkiem - DPP | 0,135 | 0,137 |
| T | 1,2 | 3,24 | 0,003 | 0,009 | 0,3 - 2,0 | N: 53° 33' 53,3" E: 21° 1' 2,9" | Broniewskiego 38, pomiar przed budynkiem - DPP | 0,116 | 0,118 |

„Bez pisemnej zgody Laboratorium niniejsze sprawozdanie nie może być powielane inaczej, jak tylko w całości. Ponadto wyniki dotyczą tylko badanych obiektów przywołanych w niniejszym sprawozdaniu z badań”

| | | | | | | | | | |
|---|-----|------|-------|-------|-----------|------------------------------------|---|-------|-------|
| U | 1,3 | 3,51 | 0,003 | 0,009 | 0,3 - 2,0 | N: 53° 33' 52,5" E: 21° 1' 7,5" | Działkowa 35/37, pomiar przed budynkiem - DPP | 0,125 | 0,128 |
| V | 1,2 | 3,24 | 0,003 | 0,009 | 0,3 - 2,0 | N: 53° 33' 51,8" E: 21° 1' 8,1" | Działkowa 34, pomiar przed budynkiem - DPP | 0,116 | 0,118 |

wynik pomiaru pole - E [V/m] - maksymalna wartość chwilowa zmierzona w danym pionie pomiarowym (uśredniona na podstawie punktu 11 Załącznika do Rozporządzenia Ministra Zdrowia)

* Wartość zmierzona poniżej zakresu akredytacji. Do obliczeń przyjęto wartość zgodną z dolną granicą akredytowanego zakresu pomiarowego metody.

GKP – główne kierunki pomiarowe

PKP – pomocnicze kierunki pomiarowe

DPP – dodatkowe punkty pomiarowe

PP – pion pomiarowy

U – niepewność pomiarowa dla współczynnika rozszerzenia $k=2$

k_E – poprawka pomiarowa badanej instalacji radiokomunikacyjnej podana przez operatora ($k_E=1,70$),

poprawka pomiarowa w przypadku oddziaływania innych instalacji radiokomunikacyjnych na badany obszar ($k_E=2,0$)

WME – wartość wskaźnikowa poziomu emisji pól elektromagnetycznych dla miejsc dostępnych dla ludności dla składowej elektrycznej pola

WMH – wartość wskaźnikowa poziomu emisji pól elektromagnetycznych dla miejsc dostępnych dla ludności dla składowej magnetycznej pola

Przyjęto najniższą dopuszczalną wartość składowej elektrycznej pola dla objętego pomiarami zakresu częstotliwości $\min(MEgr)= 28$ V/m oraz składowej magnetycznej $\min(MHgr)= 0,073$ A/m.

7. Stwierdzenie zgodności

Na podstawie wytycznych podanych w Rozporządzeniu Ministra Zdrowia z dnia 17 grudnia 2019 r. w sprawie dopuszczalnych poziomów pól elektromagnetycznych w środowisku (Dz.U. 2019 poz. 2448) oraz sposobów sprawdzania dotrzymania tych poziomów zgodnie z Rozporządzeniem Ministra Klimatu z dnia 17 lutego 2020 r. w sprawie sposobów sprawdzania dotrzymania dopuszczalnych poziomów pól elektromagnetycznych w środowisku (Dz.U. 2020 poz. 258) dotyczących źródła wymagań, które muszą być spełnione (załącznik do rozporządzenia Ministra Klimatu z dnia 17 lutego 2020 r. (poz. 258)), w oparciu o zasadę podejmowania decyzji zgodną z pkt 26 załącznika do rozporządzenia Ministra Klimatu z dnia 17 lutego 2020 r. (poz. 258), na podstawie wyników pomiarów pól elektromagnetycznych wykonanych w dniu 01.02.2022r. stwierdzono, iż w miejscach dostępnych dla ludności, dopuszczalne poziomy pól elektromagnetycznych w środowisku, określone w przepisach wydanych na podstawie art. 122 ust. 1 ustawy z dnia 27 kwietnia 2001 r. – Prawo ochrony środowiska, uznaje się za dotrzymane w obszarze pomiarowym, w którym w wyniku zastosowania sposobu sprawdzenia dotrzymania dopuszczalnych poziomów pól elektromagnetycznych w środowisku, udokumentowano, że żadna z wartości wskaźnikowych nie przekracza wartości 1.

8. Oświadczenie.

Wyniki badania odnoszą się wyłącznie do badanego obiektu.

Bez pisemnej zgody sprawozdanie nie może być powielane inaczej, jak tylko w całości.

Uwagi i zastrzeżenia przyjmowane są w formie pisemnej w ciągu 14 dni od daty otrzymania sprawozdania.

9. Spis załączników.

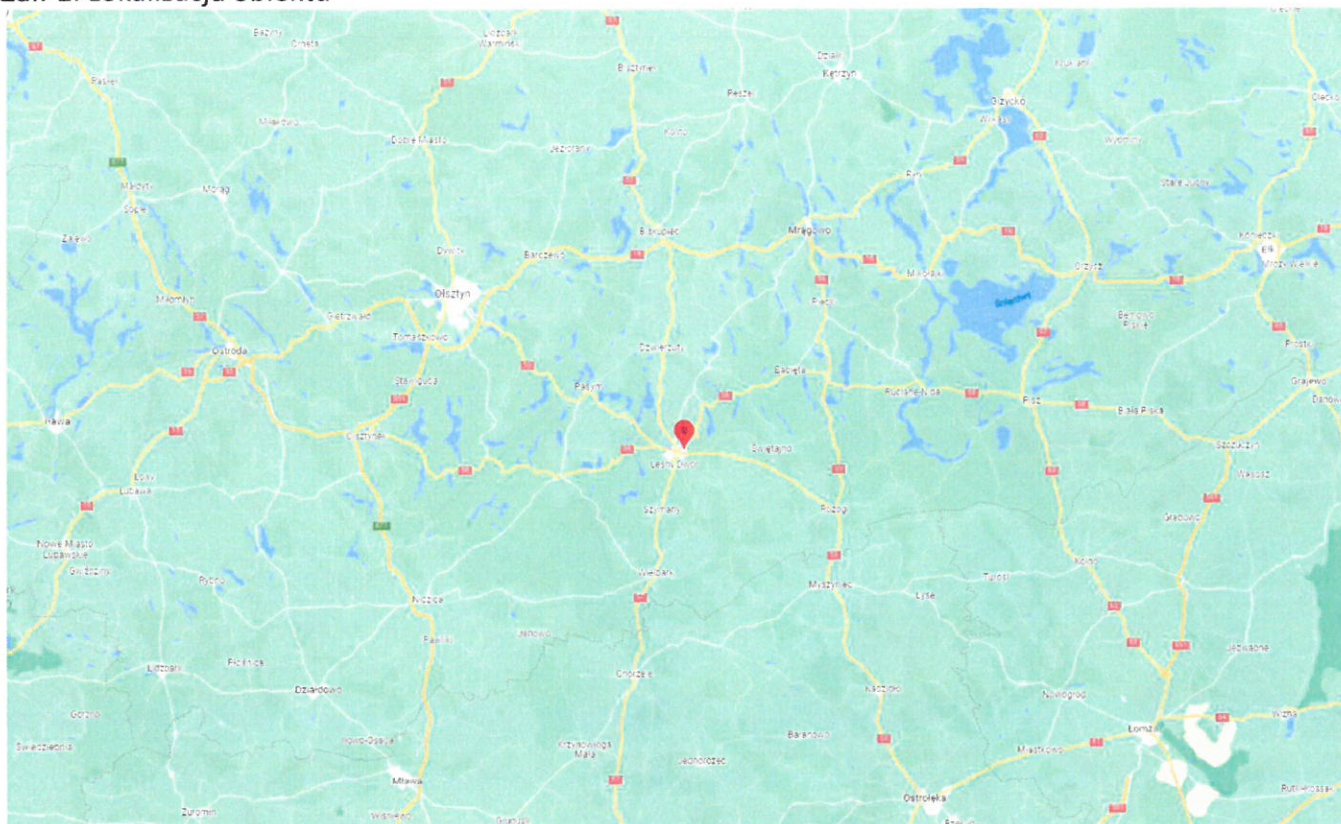
Załącznik 1. Lokalizacja obiektu.

Załącznik 2. Widok pionów pomiarowych

Załącznik 3. Załączniki graficzne.

Koniec sprawozdania

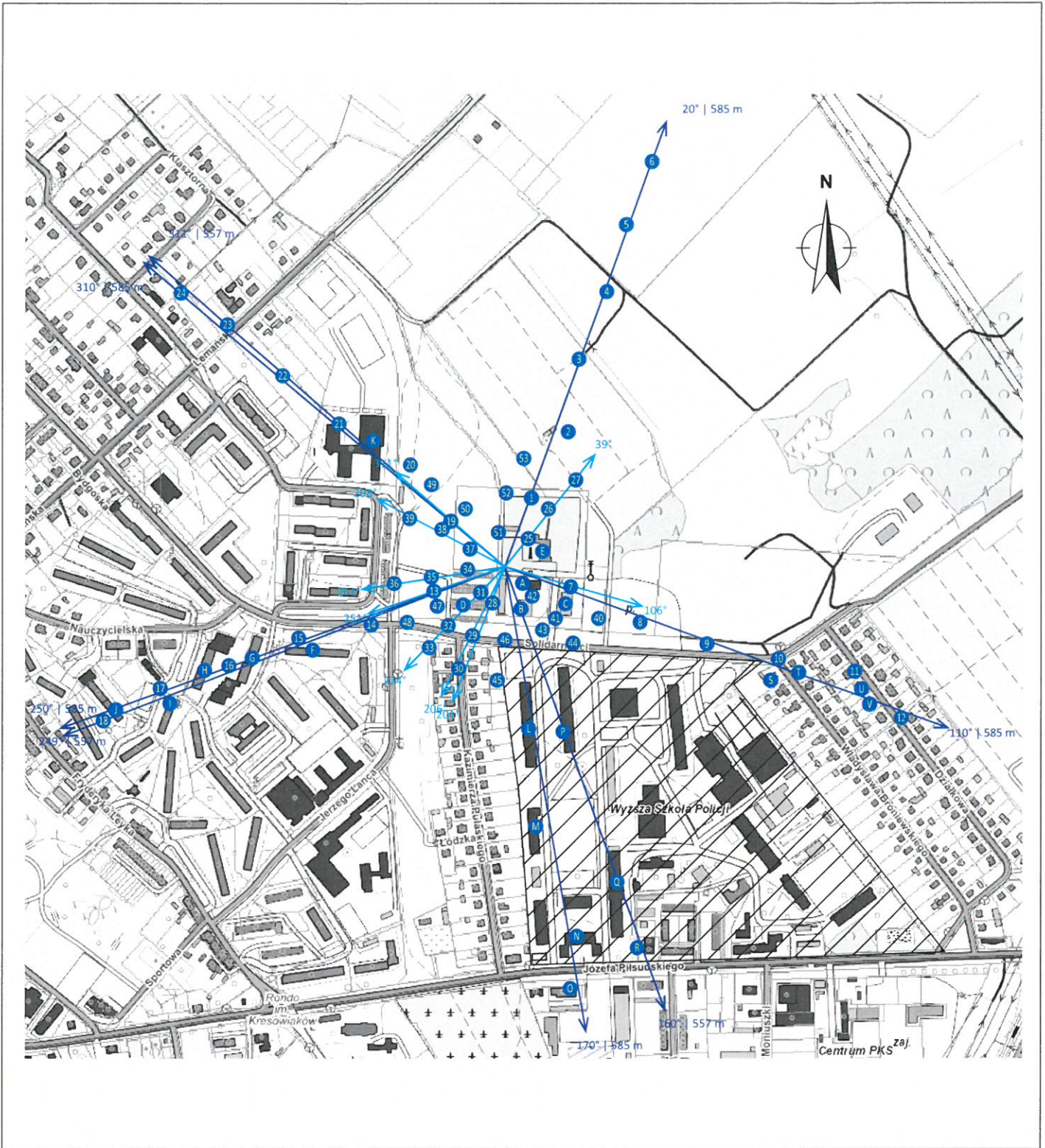
Załącznik 1. Lokalizacja obiektu









województwo: warmińsko-mazurskie

| Współrzędne geograficzne | |
|--------------------------|------------------|
| długość: | E: 21° 0' 41,2" |
| szerokość: | N: 53° 33' 58,4" |

Zař. 2. Widok pionów pomiarowych



LEGENDA:

| | | | |
|---|------------------------------------|---|--|
|  | inna instalacja radiokomunikacyjna |  | punkt pomiarowy z poprawką pomiarową podaną przez operatora |
|  | brak dostępu |  | punkt pomiarowy będący w zasięgu innych instalacji radiokomunikacyjnych z poprawką pomiarową 2,0 |
| | |  | antena sektorowa |
| | |  | antena radioliniowa |

Odległość, do której zostały wykonane pomiary mierząc od instalacji antenowej wynosi min. 585 m. Skala: 1:7700

Załącznik 3. Załączniki graficzne.



